

# Спектры волновой турбулентности на поверхности воды.

А. О. Короткевич

Центр инженерной физики, Сколтех, Москва, Россия.

A.Korotkevich@Skoltech.ru

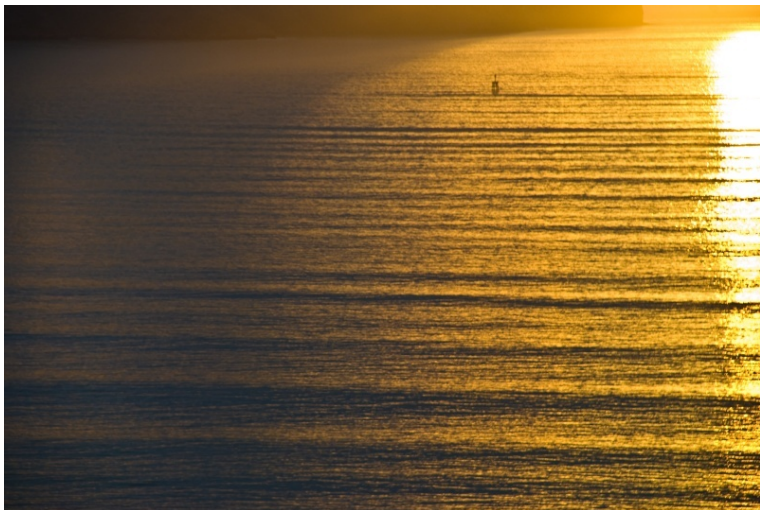
ИТФ им. Л. Д. Ландау РАН, Черноголовка, Россия.

30-е августа, 2024,

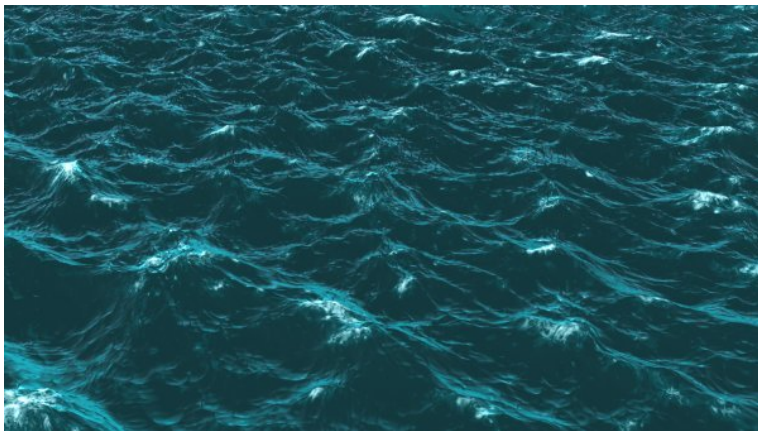
Школа «Современная гидродинамика 2024».

**Skoltech** Center for  
Engineering  
Physics

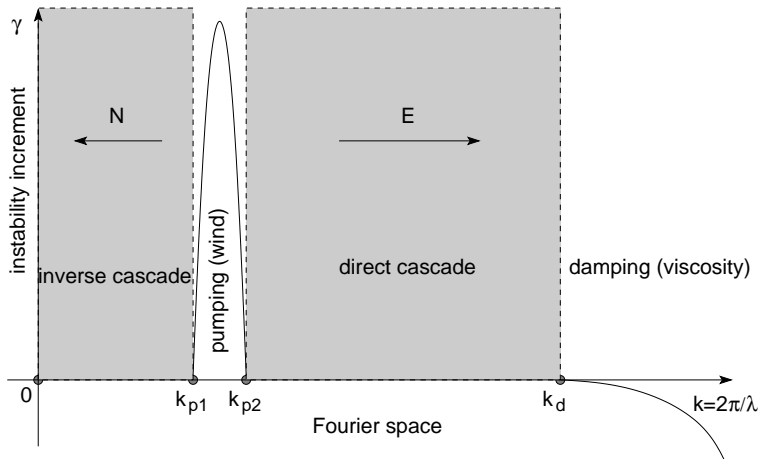
# Волновая турбулентность: вовлечены разные масштабы



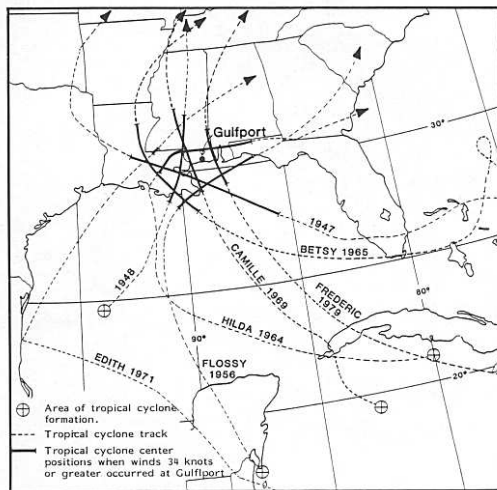
# Волновая турбулентность: вовлечены разные масштабы



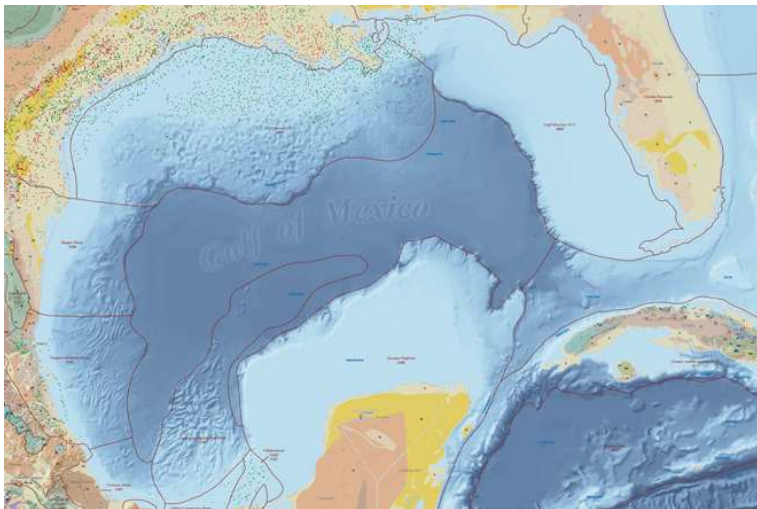
## Идеи Ричардсона-Колмогорова



## Почему это важно?

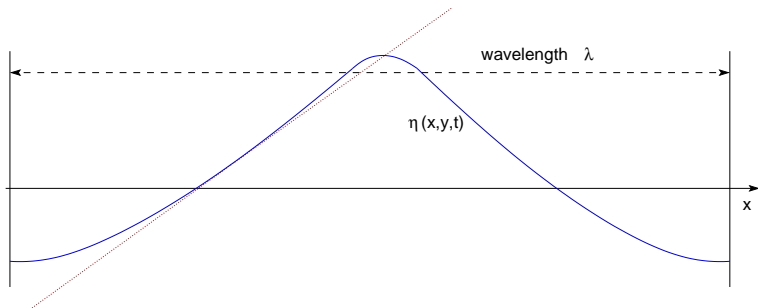


## Цель предсказания ветрового волнения



## Волны на воде. Формулировка задачи.

Рассмотрим потенциальное течение идеальной несжимаемой жидкости бесконечной глубины со свободной поверхностью. Мы используем стандартные обозначения для потенциала скорости  $\phi(\vec{r}, z, t)$ ,  $\vec{r} = (x, y)$ ;  $\vec{v} = \nabla\phi$  и отклонения поверхности по высоте  $\eta(\vec{r}, t)$ .



Крутизна поверхности:  $\mu = \sqrt{\langle |\nabla\eta(\vec{r}, t)|^2 \rangle} \approx 0.1$  — средний наклон.

Благодаря несжимаемости потенциал скорости  $\phi$  удовлетворяет уравнению Лапласа  $\nabla \cdot \vec{v} = 0$ :

$$\nabla^2 \phi = 0 \quad (1)$$

в области занимаемой жидкостью:

$$-\infty < z < \eta(\vec{r}), \quad \vec{r} = (x, y). \quad (2)$$

Граничные условия на потенциал следующие:

$$\left. \frac{\partial \eta}{\partial t} + \left( \frac{\partial \phi}{\partial x} \frac{\partial \eta}{\partial x} + \frac{\partial \phi}{\partial y} \frac{\partial \eta}{\partial y} \right) \right|_{z=\eta} = \left. \frac{\partial \phi}{\partial z} \right|_{z=\eta}, \quad (3)$$

$$\left( \frac{\partial \phi}{\partial t} + \frac{1}{2} (\nabla \phi)^2 \right) \Big|_{z=\eta} - g\eta = 0,$$

$$\phi_z \Big|_{z \rightarrow -\infty} = 0. \quad (4)$$

Здесь  $\eta = \eta(x, y, t)$  — это отклонение поверхности по вертикали от состояния покоя ( $z = 0$ ).

## Энергия системы

Полная энергия системы может быть представлена в следующем виде:

$$H = T + U,$$

Кинетическая энергия:

$$T = \frac{\rho}{2} \int d^2r \int_{-\infty}^{\eta} (\nabla\phi)^2 dz,$$

Потенциальная энергия в поле тяжести:

$$U = \frac{\rho}{2} g \int \eta^2 d^2r,$$

здесь  $g$  — это ускорения свободного падения. Отнормируем к единичной плотности  $\rho = 1$ .

## Разложение гамильтониана.

В. Е. Захаровым (1967) было показано, что при таких допущениях жидкость является гамильтоновской системой:

$$\frac{\partial \eta}{\partial t} = \frac{\delta H}{\delta \psi}, \quad \frac{\partial \psi}{\partial t} = -\frac{\delta H}{\delta \eta},$$

где  $\psi = \phi(\vec{r}, \eta(\vec{r}, t), t)$  — это потенциал скорости на поверхности жидкости. Для вычисления значения  $\psi$  надо решить уравнение Лапласа в области с изменяющейся формой поверхности  $\eta$ . Можно упростить ситуацию используя разложение гамильтониана (или оператора Дирихле-Неймана) по степеням «крутизны» (здесь  $\Delta = \nabla^2$  и  $\hat{k} = \sqrt{-\Delta}$ ):

$$\begin{aligned} H = & \frac{1}{2} \int \left( g\eta^2 + \psi \hat{k} \psi \right) d^2r + \\ & + \frac{1}{2} \int \eta \left[ |\nabla \psi|^2 - (\hat{k} \psi)^2 \right] d^2r + \\ & + \frac{1}{2} \int \eta (\hat{k} \psi) \left[ \hat{k}(\eta(\hat{k} \psi)) + \eta \Delta \psi \right] d^2r. \end{aligned}$$

Полный вывод с капиллярностью можно найти в статье КАО, Phys. Rev. Lett., **130**, 264002 (2023); arXiv:2211.16567

## Динамические уравнения.

В этом случае динамические уравнения принимают следующий вид:

$$\begin{aligned}\dot{\eta} &= \hat{k}\psi - (\nabla(\eta\nabla\psi)) - \hat{k}[\eta\hat{k}\psi] + \\ &\quad + \hat{k}(\eta\hat{k}[\eta\hat{k}\psi]) + \frac{1}{2}\Delta[\eta^2\hat{k}\psi] + \frac{1}{2}\hat{k}[\eta^2\Delta\psi], \\ \dot{\psi} &= -g\eta - \frac{1}{2}\left[(\nabla\psi)^2 - (\hat{k}\psi)^2\right] - \\ &\quad - [\hat{k}\psi]\hat{k}[\eta\hat{k}\psi] - [\eta\hat{k}\psi]\Delta\psi.\end{aligned}$$

Введём преобразование Фурье:

$$\psi_{\vec{k}} = \frac{1}{2\pi} \int \psi_{\vec{r}} e^{i\vec{k}\vec{r}} d^2r, \quad \eta_{\vec{k}} = \frac{1}{2\pi} \int \eta_{\vec{r}} e^{i\vec{k}\vec{r}} d^2r.$$

## Нормальные переменные

$\psi(\vec{r}, t)$  и  $\eta(\vec{r}, t)$  — это действительные функции,  $\Rightarrow \psi_{\vec{k}} = \psi_{-\vec{k}}^*$ ,  $\eta_{\vec{k}} = \eta_{-\vec{k}}^*$  — эрмитова симметрия.

Удобно ввести канонические (нормальные) переменные  $a_{\vec{k}}$  следующим образом:

$$a_{\vec{k}} = \sqrt{\frac{\omega_k}{2k}} \eta_{\vec{k}} + i \sqrt{\frac{k}{2\omega_k}} \psi_{\vec{k}}, \text{ где } \omega_k = \sqrt{gk}.$$

$$i\dot{a}_{\vec{k}} = \frac{\delta H}{\delta a_{\vec{k}}^*} \text{ — уравнения Гамильтона,}$$

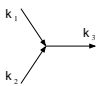
$a_{\vec{k}}$  — элементарное возбуждение (плоская волна).

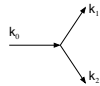
## Гамильтониан в нормальных переменных.

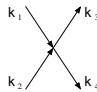
$$H_0 = \int \omega_k |a_{\vec{k}}|^2 d\vec{k},$$

$$H_1 = \frac{1}{2} \frac{1}{2\pi} \int C_{\vec{k}_1 \vec{k}_2}^{\vec{k}_0} (a_{\vec{k}_1} a_{\vec{k}_2} a_{\vec{k}_0}^* + a_{\vec{k}_1}^* a_{\vec{k}_2}^* a_{\vec{k}_0}) \delta(\vec{k}_1 + \vec{k}_2 - \vec{k}_0) d\vec{k}_1 d\vec{k}_2 d\vec{k}_0 + \dots,$$

$$H_2 = \frac{1}{4} \frac{1}{(2\pi)^2} \int D_{\vec{k}_1 \vec{k}_2 \vec{k}_3 \vec{k}_4} a_{\vec{k}_1} a_{\vec{k}_2} a_{\vec{k}_3}^* a_{\vec{k}_4}^* \delta(\vec{k}_1 + \vec{k}_2 - \vec{k}_3 - \vec{k}_4) d\vec{k}_1 d\vec{k}_2 d\vec{k}_3 d\vec{k}_4 + \dots$$

$$a_{\vec{k}_1} a_{\vec{k}_2} a_{\vec{k}_3}^*$$


$$a_{\vec{k}_0} a_{\vec{k}_1}^* a_{\vec{k}_2}^*$$


$$a_{\vec{k}_1} a_{\vec{k}_2} a_{\vec{k}_3}^* a_{\vec{k}_4}^*$$


## Резонансные условия

Давайте посмотрим, что значит “слабая нелинейность” и какие у этого последствия:

$$(a_{\vec{k}_1} a_{\vec{k}_2} a_{\vec{k}_0}^* + a_{\vec{k}_1}^* a_{\vec{k}_2}^* a_{\vec{k}_0}) \delta(\vec{k}_1 + \vec{k}_2 - \vec{k}_0)$$

$$a_{\vec{k}}(t) = A_{\vec{k}}(t) e^{i\omega_{\vec{k}} t} \Rightarrow a_{\vec{k}_0}^* a_{\vec{k}_1} a_{\vec{k}_2} = A_{\vec{k}_0}^* A_{\vec{k}_1} A_{\vec{k}_2} e^{i(\omega_{\vec{k}_0} - \omega_{\vec{k}_1} - \omega_{\vec{k}_2})t}$$

Резонансные условия для трёхволнового взаимодействия (слияние и распад):

$$\omega_{\vec{k}_0} = \omega_{\vec{k}_1} + \omega_{\vec{k}_2}, \quad \vec{k}_0 = \vec{k}_1 + \vec{k}_2.$$

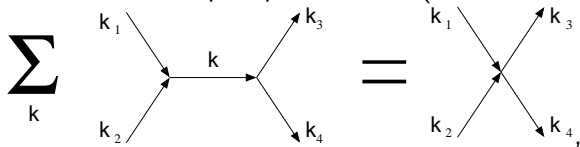
Резонансные условия для четырёхволнового взаимодействия (рассеяние два в два):

$$\omega_{\vec{k}_1} + \omega_{\vec{k}_2} = \omega_{\vec{k}_3} + \omega_{\vec{k}_4}, \quad \vec{k}_1 + \vec{k}_2 = \vec{k}_3 + \vec{k}_4.$$

## Каноническое преобразование

### Преобразование к нормальной форме (Пуанкаре)

Закон дисперсии (линейной) в случае гравитационных волн на глубокой воде  $\omega_k = \sqrt{gk}$  является “не распадным” и уравнения:  $\omega_{k_1} = \omega_{k_2} + \omega_{k_3}$ ,  $\vec{k}_1 = \vec{k}_2 + \vec{k}_3$  не имеют действительных нетривиальных решений. Это означает, что в пределе малой нелинейности кубические члены гамильтониана могут быть исключены подходящим каноническим преобразованием (показана только одна диаграмма):  $a(\vec{k}, t) \longrightarrow b(\vec{k}, t)$ .



$$H_0 = \int \omega_k |b_{\vec{k}}|^2 d\vec{k},$$

$$H_1 = 0,$$

$$H_2 = \frac{1}{2} \frac{1}{(2\pi)^2} \int T_{\vec{k}_1 \vec{k}_2 \vec{k}_3 \vec{k}_4} b_{\vec{k}_1}^* b_{\vec{k}_2}^* b_{\vec{k}_3} b_{\vec{k}_4} \delta(\vec{k}_1 + \vec{k}_2 - \vec{k}_3 - \vec{k}_4) d\vec{k}_1 d\vec{k}_2 d\vec{k}_3 d\vec{k}_4.$$

## Парная корреляционная функция

Для статистического описания стохастического волнового поля можно использовать парную (авто-)корреляционную функцию

$$\langle a_{\vec{k}} a_{\vec{k}'}^* \rangle = n_k \delta(\vec{k} - \vec{k}').$$

Функция  $n_{\vec{k}}$  является измеримой величиной, прямо связанной с наблюдаемой корреляционными функциями. Например, из определения  $a_{\vec{k}}$  можно получить следующее выражение:

$$I_k = \langle |\eta_{\vec{k}}|^2 \rangle = \frac{k}{2\omega_k} (n_k + n_{-k}).$$

Для вывода кинетического уравнения описывающего гравитационные волны на воде удобно ввести другую корреляционную функцию:

$$\langle b_{\vec{k}} b_{\vec{k}'}^* \rangle = N_k \delta(\vec{k} - \vec{k}').$$

## Связь между корреляционными функциями

Соотношение между  $n_{\vec{k}}$  и  $N_{\vec{k}}$  довольно простое (в случае глубокой воды):

$$\frac{n_{\vec{k}} - N_{\vec{k}}}{n_{\vec{k}}} \simeq \tilde{\mu}^2,$$

где  $\tilde{\mu} = k_{sp} \sqrt{\langle |\eta|^2 \rangle} \simeq \mu$ , здесь  $\eta$  — это отклонение поверхности. В случае слабой турбулентности  $\mu \ll 1$ , поэтому относительная разница меньше нескольких процентов. Во всех вычислениях мы будем пользоваться более простой функцией  $n_{\vec{k}}$  для анализа.

## Кинетическое уравнение для волн

Корреляционная функция  $N_{\vec{k}}$  подчиняется кинетическому уравнению (Нордгейм, 1928; Пайерлс, 1929; Хассельманн, 1962)

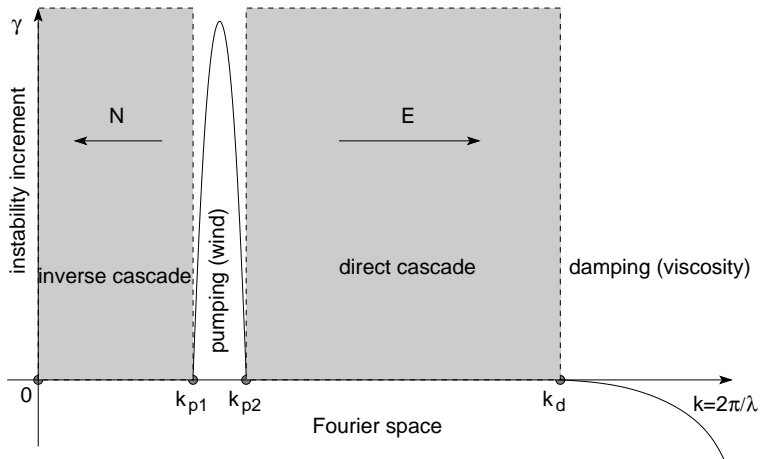
$$\frac{\partial N_{\vec{k}}}{\partial t} = st(N, N, N) + f_p(\vec{k}) - f_d(\vec{k}),$$

Здесь:

$$st(N, N, N) = 4\pi \int \left| T_{\vec{k}, \vec{k}_1}^{\vec{k}_2, \vec{k}_3} \right|^2 N_{\vec{k}} N_{\vec{k}_1} N_{\vec{k}_2} N_{\vec{k}_3} \left( \frac{1}{N_{\vec{k}}} + \frac{1}{N_{\vec{k}_1}} - \frac{1}{N_{\vec{k}_2}} - \frac{1}{N_{\vec{k}_3}} \right) \times \\ \times \delta(\vec{k} + \vec{k}_1 - \vec{k}_2 - \vec{k}_3) \delta(\omega_k + \omega_{k_1} - \omega_{k_2} - \omega_{k_3}) d\vec{k}_1 d\vec{k}_2 d\vec{k}_3.$$

Данное кинетическое уравнение и его модификации являются основой для всех моделей предсказания ветрового волнения. Вся физика содержится в  $T$  и  $\omega_k$ .

## Идеи Ричардсона-Колмогорова: масштабы и потоки.



## Решения Колмогорова-Захарова (3D жидкость, 2D поверхность, изотропные гравитационные волны, глубокая вода).

Прямой каскад энергии (от больших масштабов к малым, Захаров и Филоненко, 1967)

$$N_k^{(1)} = C_1 P^{1/3} k^{-\frac{2\beta}{3}-d} = C_1 P^{1/3} k^{-4}. \quad (5)$$

Обратный каскад волнового действия (от малых масштабов к большим, Захаров и Заславский, 1988)

$$N_k^{(2)} = C_2 Q^{1/3} k^{-\frac{2\beta-\alpha}{3}-d} = C_2 Q^{1/3} k^{-23/6} \approx \text{const } k^{-3.83}. \quad (6)$$

## Аргумент Fjortoft-а: куда текут потоки?

Давайте рассмотрим ситуация, когда на масштабе  $k_f$  энергия и волновое действие вбрасывается в систему, а на масштабах  $k_-$  и  $k_+$  они сгорают.

$$\varepsilon = \int \varepsilon_{\vec{k}} d\vec{k}, \quad n = \int n_{\vec{k}} d\vec{k}.$$

В слабонелинейном приближении:

$$\varepsilon_{\vec{k}} \approx \omega_k n_{\vec{k}}.$$

Для простоты пусть  $k_- \ll k_f \ll k_+$ . Соответственно, есть два инерционных интервала  $(k_-, k_f)$  и  $(k_f, k_+)$ , где есть только перенос сохраняющихся величин потоком, за счёт нелинейного взаимодействия волн. В динамическом равновесии вся вбрасываемая энергия и всё вбрасываемое волновое действие сгорают:

$$\dot{\varepsilon}_{k_f} + \dot{\varepsilon}_{k_-} + \dot{\varepsilon}_{k_+} = 0, \quad \dot{n}_{k_f} + \dot{n}_{k_-} + \dot{n}_{k_+} = 0.$$

Потоки величин в инерционных интервалах постоянны (динамическое равновесие).  
Давайте посмотрим на большие масштабы  $k_-$  (помним, что  $\varepsilon_{\vec{k}} \approx \omega_k n_{\vec{k}}$ ).

$$\dot{n}_{k_+} = -\dot{n}_{k_f} - \dot{n}_{k_-} \quad \dot{\varepsilon}_{k_f} + \dot{\varepsilon}_{k_-} + \dot{\varepsilon}_{k_+} = 0, \quad \omega_{k_f} \dot{n}_{k_f} + \omega_{k_-} \dot{n}_{k_-} - \omega_{k_+} \dot{n}_{k_f} - \omega_{k_+} \dot{n}_{k_-} = 0.$$

Отсюда получаем для соотношения скоростей "горения" волнового действия ( $k_- \ll k_f \ll k_+$ ):

$$\dot{n}_{k_f} = \frac{\omega_{k_+} - \omega_{k_-}}{\omega_{k_f} - \omega_{k_+}} \dot{n}_{k_-}, \quad \dot{n}_{k_f} \approx \frac{\omega_{k_+}}{-\omega_{k_+}} \dot{n}_{k_-}.$$

То есть вбрасываемое волновое действие сгорает в основном в области больших масштабов. На малых масштабах  $k_+$  аналогичные рассуждения дают:

$$\dot{n}_{k_f} \approx \frac{\omega_{k_+}}{-\omega_{k_f}} \dot{n}_{k_+}, \quad \dot{\varepsilon}_{k_f} \approx -\dot{\varepsilon}_{k_+}.$$

Таким образом почти вся вбрасываемая в систему энергия сгорает в области малых масштабов.

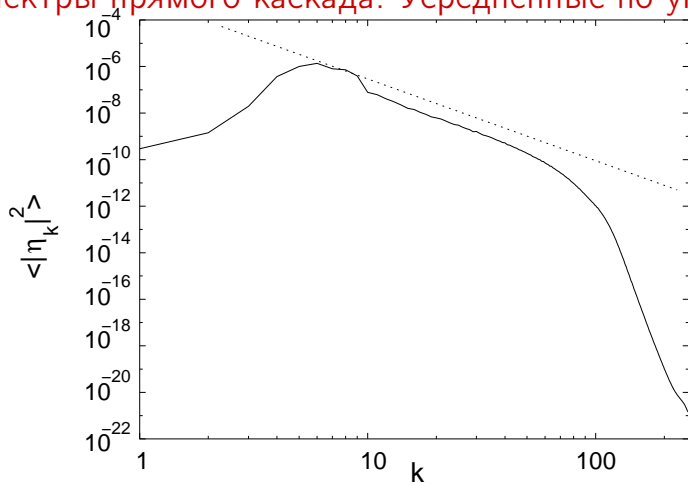
## Параметры численной схемы.

Давайте добавим накачку и затухание в динамические уравнения:

$$\begin{aligned}
 \dot{\eta} &= \hat{k}\psi - (\nabla(\eta\nabla\psi)) - \hat{k}[\eta\hat{k}\psi] + \\
 &\quad + \hat{k}(\eta\hat{k}[\eta\hat{k}\psi]) + \frac{1}{2}\Delta[\eta^2\hat{k}\psi] + \frac{1}{2}\hat{k}[\eta^2\Delta\psi] - F^{-1}[\gamma_k\eta_{\vec{k}}], \\
 \dot{\psi} &= -g\eta - \frac{1}{2} \left[ (\nabla\psi)^2 - (\hat{k}\psi)^2 \right] - \\
 &\quad - [\hat{k}\psi]\hat{k}[\eta\hat{k}\psi] - [\eta\hat{k}\psi]\Delta\psi - F^{-1}[\gamma_k\psi_{\vec{k}}] + F^{-1}[f_k e^{iR_{\vec{k}}(t)}], \\
 f_k &= 4F_0 \frac{(k-k_{p1})(k_{p2}-k)}{(k_{p2}-k_{p1})^2}; \\
 \gamma_k &= \gamma_0(k-k_d)^2, \quad k > k_d.
 \end{aligned}$$

Здесь  $R_{\vec{k}}(t)$  — равномерно распределённое случайное число в интервале  $(0, 2\pi]$ . Область моделирования  $L_x = L_y = 2\pi$  с периодическими граничными условиями. Гамильтоновское интегрирование по времени: КАО, А.И. Dyachenko, and V.E. Zakharov, *Numerical simulation of surface waves instability on a homogeneous grid*, *Physica D: Nonlinear Phenomena* **321**, 51–66 (2016); arXiv:1212:2225.

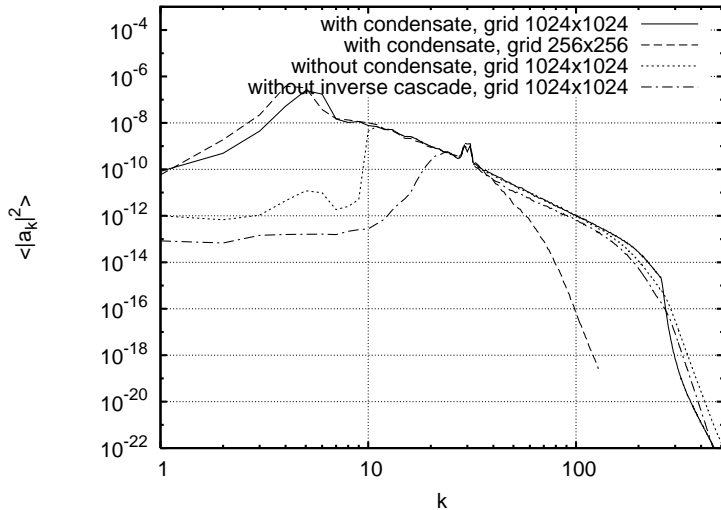
## Спектры прямого каскада. Усреднённые по углу.

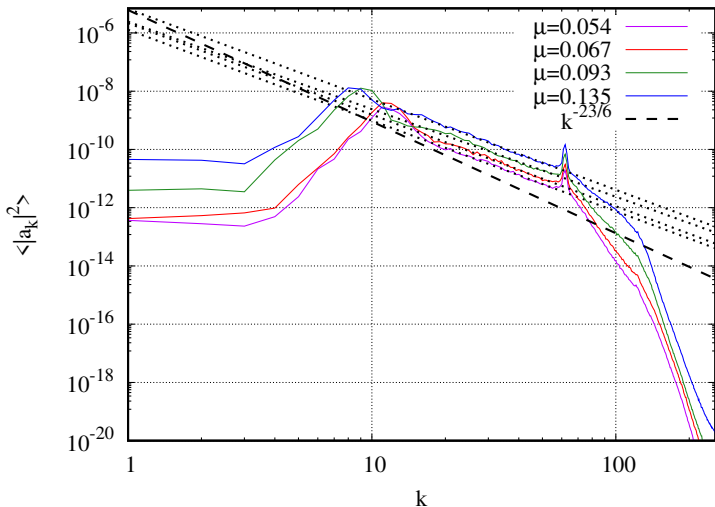


Dyachenko, KAO, Zakharov, JETP Letter **77** (10), 546-550 (2003) (arXiv:physics/0308101);

Dyachenko, KAO, Zakharov, PRL **92** (13), 134501 (2004) (arXiv:physics/0308099).

## Спектры прямого и обратного каскада. Усреднённые по углу.

KAO, PRL **101**, 7, 074504 (2008) (arXiv:0805.0445).

Спектры обратного каскада. Усреднение по углу.  $t \simeq 10^6 T_p$ .

KAO, Phys. Rev. Lett., **130**, 264002 (2023) (arXiv:2211.16567).

## Наименьшие квадраты: наклон для усреднённого по углу спектра.

$\mu$	$k \in$	Средний наклон	Ошибка в наклоне
0.054	[17; 55]	-3.12	$\pm 0.04$
0.067	[16; 55]	-3.14	$\pm 0.05$
0.093	[12; 56]	-3.01	$\pm 0.05$
0.135	[11; 56]	-3.11	$\pm 0.04$
Все	170 точек	-3.07	$\pm 0.02$

**Таблица:** Приближение наименьшими квадратами для различных симуляций. Вторая колонка показывает диапазон  $k$  между конденсатом и накачкой; третья колонка даёт средний наклон  $\alpha$  для  $\langle |a_k|^2 \rangle \sim k^\alpha$ ; последняя колонка даёт оценку ошибки для приближения.

Аналитическое объяснение отклонения спектров от спектров KZ в рамках кинетического уравнения вот тут:

КАО, S. V. Nazarenko, Y. Pan, and J. Shatah, Journal of Fluid Mechanics, **992**, A1 (2024) (arXiv:2305.01930).

## Спектры обратного каскада. Усреднённые по углу и отнормированные.

$$t \simeq 10^6 T_p.$$

